

# НАКЛОННОЕ ПАДЕНИЕ $H$ -ПОЛЯРИЗОВАННОЙ ПЛОСКОЙ ВОЛНЫ НА ПЕРИОДИЧЕСКУЮ РЕШЕТКУ, СОСТАВЛЕННУЮ ИЗ БРУСЬЕВ ПРЯМОУГОЛЬНОГО СЕЧЕНИЯ

В. Г. Сологуб

1. На решетку, состоящую из идеально проводящих брусьев (см. рис.), со стороны  $y < 0$  под углом  $\psi$  падает плоская волна

$$H_z^0 = e^{ik(ax+\beta y)}; E_x^0 = -\beta e^{ik(ax+\beta y)},$$

$$E_y^0 = \alpha e^{ik(ax+\beta y)}; H_x^0 = H_y^0 = E_z^0 = 0.$$

Здесь  $\alpha = \cos \psi$ ,  $\beta = \sin \psi$ .

Дифрагированное поле в этом случае будет определяться единственной, отличной от нуля,  $z$ -составляющей магнитного поля  $H_z$  по формулам

$$E_x = -\frac{1}{ik} \frac{\partial H_z}{\partial y};$$

$$E_y = \frac{1}{ik} \frac{\partial H_z}{\partial x}; E_z = H_x = H_y = 0.$$

При этом

$$H_z = H_z(x, y) = H_z^0(x, y) + u(x, y),$$

где  $u(x, y)$  в области, дополнительной к брусьям, удовлетворяет уравнению Гельмгольца

$$\Delta u + k^2 u = 0, \quad (1)$$

при  $|y| \rightarrow \infty$  представляется в виде волн, расходящихся от решетки, и такова, что на брусьях выполняется условие

$$\frac{\partial H_z}{\partial \nu} = 0, \quad (1')$$

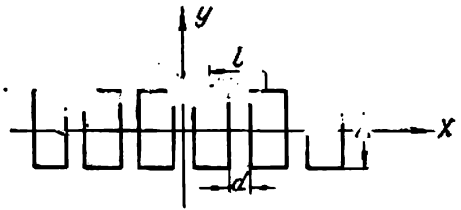
где  $\nu$  — внешняя нормаль к поверхности отдельного бруска.

Последнее условие следует из обращения в нуль на брусьях тангенциальных к ним составляющих электрического поля.

Начало декартовой системы координат поместим в середину одной из щелей между брусьями так, что область

$$|x - nl| < \frac{a}{2} \quad |y| \leq \frac{\Delta}{2} \quad (n = 0, \pm 1, \pm 2, \dots)$$

займут щели.



Симметрия и периодичность области позволяют  $H_z(x, y)$  представить в виде

$$H_z(x, y) = \begin{cases} e^{ik(ax+\beta y)} + e^{ikax} \sum_{n=-\infty}^{\infty} a_n e^{\rho_n \left(y + \frac{\Delta}{2}\right)} e^{i \frac{2\pi}{l} nx}, & \text{для } y \leq -\frac{\Delta}{2} \\ e^{ikani} \sum_{m=0}^{\infty} (b_m e^{-q_m y} + c_m e^{q_m y}) \cos \frac{\pi m}{d} \left(x + \frac{d}{2}\right), & \text{для } |y| \leq \frac{\Delta}{2} \\ |x - nl| < \frac{d}{2} \\ e^{ikax} \sum_{n=-\infty}^{\infty} d_n e^{-\rho_n \left(y - \frac{\Delta}{2}\right)} e^{i \frac{2\pi}{l} nx} & \text{для } y \geq \frac{\Delta}{2}, \end{cases} \quad (2)$$

где  $\rho_n = -i \sqrt{k^2 - h_n^2}$ ,  $h_n = kx + \frac{2\pi}{l} n$

$$q_m = -i \sqrt{k^2 - \left(\frac{\pi m}{d}\right)^2},$$

причем знак  $\rho_n$  и  $q_m$  выбран так, что  $\text{Rei} \rho_n \geq 0$  и  $\text{Rei} q_m \geq 0$ , и когда  $\text{Rei} \rho_n = 0$  или  $\text{Rei} q_m = 0$ , то  $\text{Imi} \rho_n \geq 0$  и  $\text{Imi} q_m \geq 0$ .

Задача состоит в определении коэффициентов  $a_n$ ,  $d_n$  ( $n = 0, \pm 1, \pm 2, \dots$ ),  $b_m$ ,  $c_m$  ( $m = 0, 1, 2, \dots$ ). Для этого воспользуемся граничным условием (1') и условиями, которые следуют из того, что всюду вне брусьев  $H_z(x, y)$  удовлетворяет уравнению (1) — непрерывность  $H_z(x, y)$  и  $\frac{\partial H_z(x, y)}{\partial y}$  при  $y = \pm \frac{\Delta}{2}$ ;  $|x - nl| < \frac{d}{2}$  ( $n = 0, \pm 1, \pm 2, \dots$ ).

Заметим прежде всего, что представление в виде (2) автоматически удовлетворяет условию (1') при  $x = \pm \frac{d}{2} + nl$   $|y| < \frac{\Delta}{2}$ . Удовлетворяя остальным условиям, придем к следующим уравнениям, которым должны удовлетворять коэффициенты  $a_n$ ,  $d_n$ ,  $b_m$  и  $c_m$ :

$$e^{ikax} \left[ \sum_{n=-\infty}^{\infty} a_n \rho_n e^{i \frac{2\pi}{l} nx} + ik\beta e^{-ik\beta \frac{\Delta}{2}} \right] = 0, \quad \frac{d}{2} \leq |x| \leq \frac{l}{2} \quad (3_1)$$

$$e^{ikax} \left[ \sum_{n=-\infty}^{\infty} a_n \rho_n e^{i \frac{2\pi}{l} nx} + ik\beta e^{-ik\beta \frac{\Delta}{2}} \right] = - \sum_{m=0}^{\infty} q_m (b_m e^{q_m \frac{\Delta}{2}} - c_m e^{-q_m \frac{\Delta}{2}}) \times \\ \times \cos \frac{\pi m}{d} \left(x + \frac{d}{2}\right) \quad |x| < \frac{d}{2} \quad (3_2)$$

$$e^{ikax} \left[ \sum_{n=-\infty}^{\infty} a_n e^{i \frac{2\pi}{l} nx} + e^{-ik\beta \frac{\Delta}{2}} \right] = \sum_{m=0}^{\infty} (b_m e^{q_m \frac{\Delta}{2}} + c_m e^{-q_m \frac{\Delta}{2}}) \times \\ \times \cos \frac{\pi m}{d} \left(x + \frac{d}{2}\right), \quad |x| < \frac{d}{2} \quad (3_3)$$

$$e^{ikax} \sum_{n=-\infty}^{\infty} d_n \rho_n e^{i \frac{2\pi}{l} nx} = 0, \quad \frac{d}{2} \leq |x| \leq \frac{l}{2} \quad (3_4)$$

$$e^{ikax} \sum_{n=-\infty}^{\infty} d_n \rho_n e^{i \frac{2\pi}{l} nx} = \sum_{m=0}^{\infty} q_m (b_m e^{-q_m \frac{\Delta}{2}} - c_m e^{q_m \frac{\Delta}{2}}) \cos \frac{\pi m}{d} \left(x + \frac{d}{2}\right) \quad |x| < \frac{d}{2} \quad (3_5)$$

$$e^{ikax} \sum_{n=-\infty}^{\infty} d_n e^{i \frac{2\pi}{l} nx} = \sum_{m=0}^{\infty} (b_m e^{-q_m \frac{\Delta}{2}} + c_m e^{q_m \frac{\Delta}{2}}) \cos \frac{\pi m}{d} \left(x + \frac{d}{2}\right) \quad |x| < \frac{d}{2} \quad (3_6)$$

Подобные уравнения были получены в работе [1]. Определенным образом они сводились к бесконечной системе линейных алгебраических уравнений первого рода, для которой проводилось численное решение.

Ниже будет рассмотрен способ сведения уравнений (3) к двум бесконечным системам линейных алгебраических уравнений второго рода, которые используются в дальнейшем для выяснения асимптотического, при определенных условиях, поведения  $H_z(x, y)$ .

2. Введем новые неизвестные коэффициенты по таким формулам:

$$\begin{aligned} x_n &= a_n + d_n & z_m &= -2(b_m + c_m) \\ y_n &= a_n - d_n & \zeta_m &= -2(b_m - c_m). \end{aligned} \quad (4)$$

Складывая уравнения (3<sub>1</sub>, 3<sub>2</sub>) и (3<sub>3</sub>) соответственно с уравнениями (3<sub>4</sub>), (3<sub>5</sub>) и (3<sub>6</sub>), получим следующую систему для определения  $x_n$  и  $z_m$  ( $n = 0, \pm 1, \pm 2, \dots; m = 0, 1, 2, \dots$ ):

$$e^{ikax} \left[ \sum_{n=-\infty}^{\infty} x_n \rho_n e^{i \frac{2\pi}{l} nx} + ik\beta e^{-ik\beta \frac{\Delta}{2}} \right] = 0 \quad \frac{d}{2} \leq |x| \leq \frac{l}{2} \quad (5_1)$$

$$e^{ikax} \left[ \sum_{n=-\infty}^{\infty} x_n \rho_n e^{i \frac{2\pi}{l} nx} + ik\beta e^{-ik\beta \frac{\Delta}{2}} \right] = \sum_{m=0}^{\infty} z_m q_m \operatorname{sh} q_m \frac{\Delta}{2} \cos \frac{\pi m}{d} \left( x + \frac{d}{2} \right) \quad (5_2)$$

$|x| < \frac{d}{2}$

$$e^{ikax} \left[ \sum_{n=-\infty}^{\infty} x_n e^{i \frac{2\pi}{l} nx} + e^{-ik\beta \frac{\Delta}{2}} \right] = - \sum_{m=0}^{\infty} z_m \operatorname{ch} q_m \frac{\Delta}{2} \cos \frac{\pi m}{d} \left( x + \frac{d}{2} \right) \quad (5_3)$$

$|x| < \frac{d}{2}$

Точно также, вычитая из уравнений (3<sub>1</sub>), (3<sub>2</sub>), (3<sub>3</sub>) соответственно уравнения (3<sub>4</sub>), (3<sub>5</sub>), (3<sub>6</sub>), придем к системе, определяющей коэффициенты  $y_n$  и  $\zeta_m$  ( $n = 0, \pm 1, \pm 2, \dots; m = 0, 1, 2, \dots$ ):

$$e^{ikax} \left[ \sum_{n=-\infty}^{\infty} y_n \rho_n e^{i \frac{2\pi}{l} nx} + ik\beta e^{-ik\beta \frac{\Delta}{2}} \right] = 0 \quad \frac{d}{2} \leq |x| \leq \frac{l}{2} \quad (6_1)$$

$$e^{ikax} \left[ \sum_{n=-\infty}^{\infty} y_n \rho_n e^{i \frac{2\pi}{l} nx} + ik\beta e^{-ik\beta \frac{\Delta}{2}} \right] = \sum_{m=0}^{\infty} \zeta_m q_m \operatorname{ch} q_m \frac{\Delta}{2} \cos \frac{\pi m}{d} \left( x + \frac{d}{2} \right) \quad (6_2)$$

$|x| < \frac{d}{2}$

$$e^{ikax} \left[ \sum_{n=-\infty}^{\infty} y_n e^{i \frac{2\pi}{l} nx} + e^{-ik\beta \frac{\Delta}{2}} \right] = - \sum_{m=0}^{\infty} \zeta_m \operatorname{sh} q_m \frac{\Delta}{2} \cos \frac{\pi m}{d} \left( x + \frac{d}{2} \right) \quad (6_3)$$

$|x| < \frac{d}{2}$

Рассмотрим сначала систему (5). Из уравнений (5<sub>1</sub>) и (5<sub>2</sub>) этой системы находим

$$\begin{aligned} x_n \rho_n &= \frac{2}{l} h_n \sum_{m=0}^{\infty} e^{im \frac{\pi}{2}} z_m q_m \operatorname{sh} q_m \frac{\Delta}{2} \frac{\sin \left( h_n - \frac{\pi m}{d} \right) \frac{d}{2}}{h_n^2 - \left( \frac{\pi m}{d} \right)^2} - \\ &- ik\beta e^{-ik\beta \frac{\Delta}{2}} \delta_0^n \quad (n = 0, \pm 1, \pm 2, \dots). \end{aligned} \quad (7)$$

Из уравнения (5<sub>3</sub>) выразим  $z_m$  через  $x_s$

$$z_m \operatorname{ch} qm \frac{\Delta}{2} = -\frac{2}{d} (2 - \delta_0^n) e^{im \frac{\pi}{2}} \sum_{s=-\infty}^{\infty} x_s \frac{h_s \sin \left( h_s - \frac{\pi m}{d} \right) \frac{d}{2}}{h_s^2 \left( \frac{\pi m}{d} \right)^2} - \frac{2}{d} (2 - \delta_0^m) \times \\ \times e^{-im \frac{\pi}{2}} \frac{k\alpha \sin \left( k\alpha - \frac{\pi m}{d} \right) \frac{d}{2}}{(k\alpha)^2 - \left( \frac{\pi m}{d} \right)^2}; \quad (m = 0, 1, 2, \dots).$$

Подставляя эти выражения для  $z_m$  в уравнения (7), получим бесконечную систему линейных алгебраических уравнений второго рода относительно  $x_n$ :

$$x_n - \sum_{s=-\infty}^{\infty} P_{ns} x_s = \gamma_n \quad (n = 0, \pm 1, \pm 2, \dots), \quad (8)$$

где

$$P_{ns} = P_{ns}^{(0)} + P_{ns}^{(1)}, \quad \gamma_n = \gamma_n^{(0)} + \gamma_n^{(1)},$$

причем

$$P_{ns}^{(0)} = \frac{i}{\pi} \kappa \theta \operatorname{tg} \kappa \delta \frac{\sin(n \mp \alpha x) \theta \sin(s \mp \alpha x) \theta}{\sqrt{x^2 - (n \mp \alpha x)^2} (n \mp \alpha x) (s \mp \alpha x) \theta^2}$$

$$P_{ns}^{(1)} = -i \frac{16}{\pi^4} \theta^2 \frac{(n \mp \alpha x) (s \mp \alpha x)}{\sqrt{x^2 - (n \mp \alpha x)^2}} \sum_{m=1}^{\infty} \sqrt{m^2 - \left( \frac{2}{\pi} \kappa \theta \right)^2} \operatorname{th} \left( \frac{\pi}{2} \frac{\delta}{\theta} \times \right. \\ \left. \times \sqrt{m^2 - \left( \frac{2}{\pi} \kappa \theta \right)^2} \right) \frac{\sin \left[ m - \frac{2}{\pi} (n \mp \alpha x) \theta \right] \frac{\pi}{2} \sin \left[ m - \frac{2}{\pi} (s \mp \alpha x) \theta \right] \frac{\pi}{2}}{\left[ m^2 - \frac{4}{\pi^2} \theta^2 (n \mp \alpha x)^2 \right] \left[ m^2 - \frac{4}{\pi^2} \theta^2 (s \mp \alpha x)^2 \right]}$$

$$\gamma_n^{(0)} = e^{i\beta x \delta} \delta_0^n + \frac{i}{\pi} \kappa \theta \operatorname{tg} \kappa \delta e^{-i\beta x \delta} \frac{\sin \alpha x \theta \cdot \sin(n \mp \alpha x) \theta}{\sqrt{x^2 - (n \mp \alpha x)^2} \alpha x (n \mp \alpha x) \theta^2}$$

$$\gamma_n^{(1)} = -i \frac{16}{\pi^4} \theta^2 e^{-i\beta x \delta} \frac{\alpha x (n \mp \alpha x)}{\sqrt{x^2 - (n \mp \alpha x)^2}} \sum_{m=1}^{\infty} \sqrt{m^2 - \left( \frac{2}{\pi} \kappa \theta \right)^2} \operatorname{th} \times \\ \times \left( \frac{\pi}{2} \frac{\delta}{\theta} \sqrt{m^2 - \left( \frac{2}{\pi} \kappa \theta \right)^2} \right) \frac{\sin \left[ m - \frac{2}{\pi} (n \mp \alpha x) \theta \right] \frac{\pi}{2} \sin \left[ m - \frac{2}{\pi} \alpha x \theta \right] \frac{\pi}{2}}{\left[ m^2 - \frac{4}{\pi^2} \theta^2 (n \mp \alpha x)^2 \right] \left( m^2 - \frac{4}{\pi^2} \theta^2 \alpha^2 x^2 \right)}$$

$$\theta = \frac{\pi d}{l}; \quad \kappa = \frac{k l}{2\pi}; \quad \delta = \frac{\pi \Delta}{l}; \quad \delta_0^n = \begin{cases} 1, & \text{при } n = 0 \\ 0 & \text{при } n \neq 0. \end{cases}$$

Тем же способом, из системы (6) получим бесконечную систему линейных алгебраических уравнений для  $y_n$ :

$$y_n - \sum_{s=-\infty}^{\infty} Q_{ns} y_s = e_n \quad (n = 0, \pm 1, \pm 2, \dots), \quad (9)$$

где

$$Q_{ns} = Q_{ns}^{(0)} + Q_{ns}^{(1)}; \quad e_n = e_n^{(0)} + e_n^{(1)}$$

и

$$Q_{ns}^{(0)} = -\frac{i}{\pi} \kappa \theta \operatorname{ctg} \kappa \delta \frac{\sin(n \mp \alpha x) \theta \sin(s \mp \alpha x) \theta}{\sqrt{x^2 - (n \mp \alpha x)^2} (n \mp \alpha x) (s \mp \alpha x) \theta^2}$$

$$Q_{ns}^{(1)} = -i \frac{16}{\pi^4} \theta^2 \frac{(n \mp \alpha x)(s \mp \alpha x)}{\sqrt{x^2 - (n \mp \alpha x)^2}} \sum_{m=1}^{\infty} \sqrt{m^2 - \left(\frac{2}{\pi} \kappa \theta\right)^2} \operatorname{cth} \left(\frac{\pi}{2} \frac{\theta}{\theta}\right) \times$$

$$\times \frac{\sqrt{m^2 - \left(\frac{2}{\pi} \kappa \theta\right)^2} \sin \left[ m - \frac{2}{\pi} (n \mp \alpha x) \theta \right] \frac{\pi}{2} \sin \left[ m - \frac{2}{\pi} (s \mp \alpha x) \theta \right] \frac{\pi}{2}}{\left[ m^2 - \frac{4}{\pi^2} \theta^2 (n \mp \alpha x)^2 \right] \left[ m^2 - \frac{4}{\pi^2} \theta^2 (s \mp \alpha x)^2 \right]}$$

$$e_n^{(0)} = e^{-i\beta x \delta} \delta_0^n - \frac{i}{\pi} \kappa \theta \operatorname{ctg} \kappa \delta e^{-i\beta x \delta} \frac{\sin \alpha x \theta \sin (n \mp \alpha x) \theta}{\sqrt{x^2 - (n \mp \alpha x)^2} \alpha x (n \mp \alpha x) \theta^2}$$

$$e_n^{(1)} = -i \frac{16}{\pi^4} \theta^2 e^{-i\beta x \delta} \frac{\alpha x (n \mp \alpha x)}{\sqrt{x^2 - (n \mp \alpha x)^2}} \sum_{m=1}^{\infty} \sqrt{m^2 - \left(\frac{2}{\pi} \kappa \theta\right)^2} \operatorname{cth} \left(\frac{\pi}{2} \frac{\theta}{\theta}\right) \times$$

$$\times \frac{\sqrt{m^2 - \left(\frac{2}{\pi} \kappa \theta\right)^2} \sin \left[ m - \frac{2}{\pi} (n \mp \alpha x) \theta \right] \frac{\pi}{2} \sin \left( m - \frac{2}{\pi} \alpha x \theta \right) \frac{\pi}{2}}{\left[ m^2 - \frac{4}{\pi^2} \theta^2 (n \mp \alpha x)^2 \right] \left( m^2 - \frac{4}{\pi^2} \theta^2 \alpha^2 x^2 \right)}$$

3. Исследуем системы (8) и (9) для случая, когда  $\theta = \frac{\pi d}{l} \rightarrow 0$ , т.е. когда щель между брусками мала по сравнению с периодом решетки. Кроме того, будем считать, что  $l \rightarrow 0$ , так что  $\kappa = \frac{kl}{2\pi} \rightarrow 0$ .

Рассматривая систему (8), представим ее решение в виде

$$x_n = x_n^{(0)} + x_n^{(1)},$$

где  $x_n^{(0)}$  — решение системы

$$x_n^{(0)} - \sum_{s=-\infty}^{\infty} P_{ns}^{(0)} x_s^{(0)} = \gamma_n^{(0)} \quad (n = 0, \pm 1, \pm 2, \dots), \quad (10)$$

а  $x_n^{(1)}$  удовлетворяют уравнениям

$$x_n^{(1)} - \sum_{s=-\infty}^{\infty} P_{ns}^{(1)} x_s^{(1)} = \gamma_n^{(1)} + \sum_{s=-\infty}^{\infty} P_{ns}^{(1)} x_s^{(0)} \quad (n = 0, \pm 1, \pm 2, \dots). \quad (11)$$

Решение системы (10) может быть получено в явном виде. Обозначим

$$\mu = \frac{i x \delta \operatorname{tg} \kappa \delta}{\pi - i x \delta \operatorname{tg} \kappa \delta - \sum_{s=-\infty}^{\infty} \frac{\sin^2 (s \mp \alpha x) \theta}{\sqrt{x^2 - (s \mp \alpha x)^2} (s \mp \alpha x) \theta^2}}.$$

Тогда, как легко проверить,

$$x_n^{(0)} = e^{-i\beta x \delta} \delta_0^n + 2\mu \frac{\sin \alpha x \theta}{\alpha x \theta} \frac{\sin (n \mp \alpha x) \theta}{\sqrt{x^2 - (n \mp \alpha x)^2} (n \mp \alpha x) \theta}.$$

Подставляя эти значения для  $x_n^{(0)}$  в выражения для правых частей в (11), можно получить следующее:

$$\left| \gamma_n^{(1)} + \sum_{s=-\infty}^{\infty} P_{ns}^{(1)} x_s^{(0)} \right| < C \theta (|\mu| + \theta) \frac{\ln \left( \frac{1}{2} \mp |\pi| \theta \right)}{\left( \frac{1}{2} \mp |\pi| \theta \right)^2}, \quad (12)$$

где  $C$  — абсолютная константа.

Аналогично  $y_n$  могут быть представлены в виде  $y_n = y_n^{(0)} + y_n^{(1)}$ , где

$$y_n^{(0)} = e^{-i\beta x \delta} \delta_0^n + 2\tau e^{-i\beta x \delta} \frac{\sin \alpha x \theta}{\alpha x \theta} \frac{\sin (n \mp \alpha x) \theta}{\sqrt{x^2 - (n \mp \alpha x)^2} (n \mp \alpha x) \theta}$$

$$\tau = - \frac{i x \theta \operatorname{ctg} x \delta}{\pi + i x \theta \operatorname{ctg} x \delta} \sum_{s=-\infty}^{\infty} \frac{\sin^2 (s + \alpha x) \theta}{\sqrt{x^2 - (s + \alpha x)^2} (s + \alpha x)^2 \theta^2},$$

а  $y_n^{(1)}$  удовлетворяют следующей системе уравнений:

$$y_n^{(1)} - \sum_{s=-\infty}^{\infty} Q_{ns} y_s^{(1)} = \epsilon_n^{(1)} + \sum_{s=-\infty}^{\infty} Q_{ns}^{(1)} y_s^{(0)}, \quad (n = 0, \pm 1, \pm 2, \dots)$$

для правых частей которых выполняются неравенства

$$|\epsilon_n^{(1)} + \sum_{s=-\infty}^{\infty} Q_{ns}^{(1)} y_s^{(0)}| < C \theta (|\tau| + \theta) \frac{\ln \left( \frac{1}{2} \mp |n| \theta \right)}{\left( \frac{1}{2} \mp |n| \theta \right)^2}.$$

Пусть  $\theta \rightarrow 0$  и  $x \rightarrow 0$ , так что существуют такие пределы:

$$\lim_{\substack{\theta \rightarrow 0 \\ x \rightarrow 0}} \frac{1}{\pi} \theta \operatorname{ctg} x \delta = p; \quad \lim_{\substack{\theta \rightarrow 0 \\ x \rightarrow 0}} \frac{1}{\pi} \theta \operatorname{tg} x \delta = q;$$

при этом

$$\lim_{\substack{\theta \rightarrow 0 \\ x \rightarrow 0}} -2x \ln \sin \frac{\theta}{2} = kQ$$

$$\sum_{s=-\infty}^{\infty} \frac{\sin^2 (s \mp \alpha x) \theta}{\sqrt{x^2 - (s \mp \alpha x)^2} (s \mp \alpha x)^2 \theta^2} = \frac{1}{x\beta} \frac{\sin^2 \alpha x \theta}{(\alpha x \theta)^2} -$$

$$- i \sum_{s \neq 0} \frac{\sin^2 (s \mp \alpha x) \theta}{\sqrt{(s \mp \alpha x)^2 - x^2} (s \mp \alpha x)^2 \theta^2} = \frac{1}{x\beta} + 2i \ln \sin \frac{\theta}{2} + O(1)$$

и, следовательно,

$$\mu = \frac{i q x \beta}{\beta - i q - k \beta Q q} + O(x^2)$$

$$\tau = \frac{-i p x \beta}{\beta \mp i p \mp k \beta Q p} + O(x^2). \quad (14)$$

Возвращаясь к системе (13), замечаем, что она отличается от системы (8) только правой частью, которая в силу (12) и (14) стремится к нулю при  $\theta \rightarrow 0$  и  $x \rightarrow 0$ . Поэтому, предполагая разрешимость системы (8), можно считать, что

$$x_n^{(1)} \xrightarrow[\substack{\theta \rightarrow 0 \\ x \rightarrow 0}]{} 0.$$

Точно так же, предполагая разрешимость системы (10), получаем

$$y_n^{(1)} \xrightarrow[\substack{\theta \rightarrow 0 \\ x \rightarrow 0}]{} 0.$$

Обращаясь теперь к представлению в виде (2) при  $|y| > \frac{\Delta}{2}$ , в котором

$$a_n = \frac{1}{2}(x_n + y_n); d_n = \frac{1}{2}(x_n - y_n),$$

находим

$$V(x, y) = \lim_{\substack{\theta \rightarrow 0 \\ x \rightarrow 0}} H_z(x, y) = \begin{cases} e^{ik(ax+\beta y)} + \left[ 1 + \frac{iq}{\beta - iq - k\beta Qq} - \frac{ip}{\beta \mp ip \mp k\beta Qp} \right] e^{ik[ax - \beta(y+\Delta)]} & |y| < -\frac{\Delta}{2} \\ \left[ \frac{iq}{\beta - iq - k\beta Qq} + \frac{ip}{\beta \mp ip \mp k\beta Qp} \right] e^{ik[ax + \beta(y-\Delta)]} & y > \frac{\Delta}{2} \end{cases} \quad (15)$$

4. Полученное выражение для  $\lim_{\substack{\theta \rightarrow 0 \\ x \rightarrow 0}} H_z(x, y)$  удобно для выяснения характера поля в некоторых предельных случаях. Так, в случае, когда щели между брусьями исчезают, выражение (15) переходит в решение задачи об отражении  $H$ -поляризованной плоской волны идеально проводящей плоскостью, расположенной при  $y = -\frac{\Delta}{2}$ . Тот же случай получаем, когда  $x\delta$  равно фиксированному числу, отличному от  $n\pi$  или  $(n - \frac{1}{2})\pi$  ( $n = 1, 2, 3, \dots$ ), т. е. когда щель между брусьями мала по сравнению с «толщиной» решетки. Если же  $x\delta = 0$  ( $\Delta = 0$ ),  $V(x, y)$  принимает вид, аналогичный полученному в [2] в подобном приближении для плоской решетки:

$$\lim_{\Delta \rightarrow 0} V(x, y) = \begin{cases} e^{ik(ax+\beta y)} + \frac{k\beta Q}{i \mp k\beta Q} e^{ik(ax-\beta y)}, & y < 0 \\ \frac{i}{i \mp k\beta Q} e^{ik(ax+\beta y)}, & y > 0. \end{cases}$$

Выражение (15) позволяет также сделать выводы о характере поля в «резонансных» случаях, когда

$$\Delta = n\lambda \quad (x\delta = n\pi; q = 0, |p| = \infty) \\ n = 1, 2, 3, \dots$$

или, когда

$$\Delta = \left(n - \frac{1}{2}\right)\pi, \quad (x\delta = \left(n - \frac{1}{2}\right)\pi; |q| = \infty, p = 0) \\ n = 1, 2, 3, \dots, \quad (17)$$

где  $\lambda$  — длина волны. При этом отраженное и прошедшее поля, как это следует из (15), с точностью до фазового множителя совпадают с соответствующим полем для плоской решетки, расположенной при  $y = \mp \frac{\Delta}{2}$ . Иными словами, решетка из брусьев при достаточно малых  $\theta$  и  $x$  обладает избирательностью по отношению к длине волны: пропускает волны с длиной волны, близкой к определяемой соотношением (16) или (17) и почти не пропускает остальных. Такой характер поля подтверждается результатами численного счета, приведенными в [1].

Рассмотрим теперь случай, когда  $x\delta \rightarrow 0$ . Теперь  $q \rightarrow 0$ , а  $p = \frac{\theta}{\pi x\delta} = \frac{2}{k} \frac{d}{l\Delta}$  и для  $V_0(x, y) = \lim_{x\delta \rightarrow 0} V(x, y)$  получаем

$$V_0(x, y) = \begin{cases} V_0^-(x, y) = e^{ik(ax+\beta y)} + \left[1 - \frac{ip}{\beta \mp ip \mp k\beta Q\rho}\right] e^{ik(ax-\beta y)}, & y < 0 \\ V_0^+(x, y) = \frac{ip}{\beta \mp ip \mp k\beta Q\rho} e^{ik(ax+\beta y)}, & y > 0. \end{cases}$$

Предельное поле  $V_0(x, y)$  при  $y < 0$  и  $y > 0$  удовлетворяет уравнению Гельмгольца (1), а при  $y = 0$  — граничным условиям

$$\frac{\partial V_0^+(x, 0)}{\partial y} = \frac{\partial V_0^-(x, 0)}{\partial y} = \frac{\partial V_0(x, 0)}{\partial y},$$

$$V_0^+(x, 0) - V_0^-(x, 0) = f \frac{\partial V_0(x, 0)}{\partial y}, \quad (18)$$

где

$$f = Q + \frac{l\Delta}{d} = \frac{l}{\pi} \left( \frac{\pi\Delta}{d} - \ln \sin \frac{\pi d}{2l} \right).$$

Граничные условия (18) имеют тот же вид, что и условия, полученные в [3] при решении задачи Неймана для бесконечно тонкой поверхности с дырками, когда мера дырок определенным образом стремится к нулю. В рассмотренном выше частном случае «толстой» поверхности с каналами — периодической решетке из брусьев прямоугольного сечения удалось получить зависимость коэффициента  $f$  и от «толщины» поверхности.

Таким образом, задачу дифракции на периодической решетке из брусьев прямоугольного сечения с граничным условием (1') в случае узких щелей можно приближенно решить, пользуясь эквивалентными граничными условиями (16). При этом приближение будет тем точнее, чем меньше  $\theta = \frac{\pi d}{l}$  и  $x = \frac{kl}{2\pi}$ .

#### ЛИТЕРАТУРА

1. С. А. Масалов, Ю. Т. Репа, Э. Д. Ситников. Дифракция  $H$ -поляризованной плоской электромагнитной волны на плоской решетке с диэлектриком. «Радиотехника и электроника», 9, 12, 1964.
2. В. А. Марченко. Некоторые вопросы дифракции. Первая летняя математическая школа, ч. I, К. Изд-во «Наукова думка», 1964.
3. В. А. Марченко, Г. В. Сузиков. Вторая краевая задача в областях со сложной границей. «Математ. сб.» т. 69 (111), (1966).